

## ВЛИЯНИЕ РАЗОГРЕВА НОСИТЕЛЕЙ НА ТОКИ УТЕЧКИ В ДГС InGaAsP/InP

Пищалко В. Д., Толстыхин В. И.

Теоретически исследовано влияние разогрева носителей на токи утечки в ДГС InGaAsP/InP. Учтены механизмы разогрева, обусловленные инжекцией с гетеробарьеров, оже-рекомбинацией и выделением джоулева тепла. Показано, что разогрев носителей оказывает существенное влияние на ваттамперные характеристики ДГС. Проведены численные расчеты эффективной температуры, квантового выхода и коэффициента инжекции, результаты которых сравниваются с известными экспериментальными данными.

Известно, что при разработке мощных светодиодов и лазеров на основе ДГС InGaAsP/InP приходится иметь дело со значительными паразитными эффектами. Прежде всего это утечка носителей из узкозонной активной области (АО) [1-3], а также безызлучательная оже-рекомбинация в ней [4], которые приводят к насыщению мощности излучения светодиодов [5] и высокой температурной чувствительности пороговых характеристик лазеров [6]. Исследование механизма этих явлений представляет собой, очевидно, актуальную задачу.

При плотностях инжекционного тока  $J \geqslant 10^3$  А/см<sup>2</sup> в АО образуется электронно-дырочная плазма (ЭДП) с концентрацией  $n \geqslant 10^{17}$  см<sup>-3</sup>. Характерное время парных столкновений  $\tau_{cc}$  в такой плазме, как правило, меньше характерных времен релаксации энергии неравновесных электронов и дырок (соответственно  $\tau_e$  и  $\tau_h$ ), т. е. они термализованы. Различие между эффективной температурой носителей  $T$  и температурой решетки  $T_0$  в узкозонной АО обусловлено, с одной стороны, инжекцией горячих носителей из широкозонных контактных областей (КО) [7], а с другой — оже-разогревом непосредственно в АО [8]. Кроме того, на величину и распределение эффективной температуры в АО вследствие теплопроводности влияют как охлаждение, так и выделение джоулева тепла в КО. Разогрев ЭДП в ДГС InGaAsP/InP наблюдался экспериментально в светодиодах [9-11] и лазерах [12]. Было показано, что для  $T_0 = 300$  К разница  $\Delta T = T - T_0$  может достигать  $\sim 100$  К [10]. При таком уровне разогрева токи утечки в ДГС, имеющие активационный характер из-за пространственного ограничения носителей гетеробарьерами и поэтому экспоненциально зависящие от температуры, должны меняться по порядку величины. Однако из литературы нам не известна какая-либо количественная модель, позволяющая рассчитывать токи утечки в ДГС с учетом разогрева. Цель настоящей работы как раз и состоит в построении и исследовании такой модели.

Рассмотрим ДГС InGaAsP/InP, зонная диаграмма которой изображена на рис. 1. Ограничивааясь большими плотностями тока накачки  $J \geqslant 10^3$  А/см<sup>2</sup>, будем считать, что инжекция основных носителей из КО в АО осуществляется в режиме ограничения пичком [13] и обусловлена термоэмиссией. Токи утечки через гетеробарьеры из АО в КО будем полагать малыми по сравнению с рекомбинационным током в АО, примерно равным току накачки  $J$ . В условиях сильной инжекции будем считать, что АО, так же как и каждая из КО, квазинейтральны, а эффективные температуры электронов и дырок одинаковы. Последнее допущение оправдано, если энергообмен между неравновесными электронами и дырками, характеризуемый временем  $\tau_{ep}$ , происходит быстрее, чем релаксация энер-

тии отдельно электронной и дырочной подсистем, т. е. имеют место неравенства  $\tau_{cc} < \tau_{np} \ll \tau_n, \tau_p$ . Учитывая, что  $\tau_{np} \sim (m_p/m_n) \tau_{cc}$ , где  $m_p, m_n$  — эффективные массы тяжелой дырки и электрона, и что в рассматриваемых условиях  $\tau_n \sim 10^{-12}$  с,  $\tau_p \sim 10^{-13}$  с [14], получим, что приведенные выше неравенства, позволяющие описывать ЭДП единой эффективной температурой, выполняются при  $n \geq 10^{17}$  см<sup>-3</sup>. Расчет токов утечки разбивается на два этапа, на первом из которых находятся определяемые основными носителями обоих знаков в АО распределения температурного и электрического полей. На втором этапе для КО находятся распределения неосновных носителей в этих полях и определяемые ими токи утечки.

Координатная зависимость эффективной температуры  $T(x)$  (в энергетических единицах) описывается уравнением

$$\frac{d}{dx} (Q_n + Q_p) = (J_n + J_p) E - (P_n + P_p) + \epsilon_g R_A - 3T R_R, \quad (1)$$

в котором

$$Q_n = -D_n n \frac{d}{dx} \left[ \left( \frac{5}{2} + \frac{d \ln \mu_n}{d \ln T} \right) T \right] - \left( \frac{5}{2} + \frac{d \ln \mu_n}{d \ln T} \right) \frac{J_n}{e} T,$$

$$Q_p = -D_p p \frac{d}{dx} \left[ \left( \frac{5}{2} + \frac{d \ln \mu_p}{d \ln T} \right) T \right] + \left( \frac{5}{2} + \frac{d \ln \mu_p}{d \ln T} \right) \frac{J_p}{e} T$$

— потоки тепла, переносимые электронами и дырками;  $J_n, J_p$  — плотности электронного и дырочного токов;  $D_n, D_p$  и  $\mu_n, \mu_p$  — коэффициенты диффузии

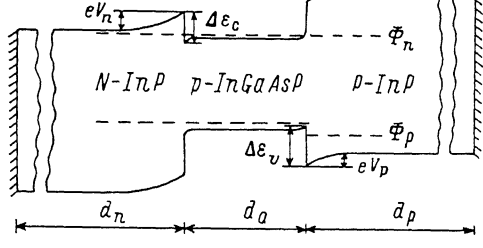


Рис. 1. Зонная диаграмма ДГС  $N\text{-InP}/p\text{-InGaAsP}/P\text{-InP}$  в рабочем режиме.

и подвижности электронов и дырок;  $n$  и  $p$  — концентрации носителей;  $P_n$  и  $P_p$  — мощности, рассеиваемые в решетку электронами и дырками единичного объема;  $R_R, R_A$  — темпы излучательной и оже-рекомбинации;  $\epsilon_g$  — ширина запрещенной зоны;  $E$  — электрическое поле. Уравнение теплопроводности (1) дает распределение эффективной температуры во всей ДГС. Однако удобно рассматривать АО и каждую из КО по отдельности. При этом на границах областей  $x = \pm d_a/2$ , совпадающих с гетеропереходами (ГП), должны выполняться определенные условия спшивки. Будем считать, что в случае высоких уровней инжекции, только и рассматриваемых здесь, концентрация носителей вблизи ГП достаточно велика для эффективного энергообмена между АО и каждой из КО (в противном случае теплоизолированной АО величина разогрева в этой области увеличится и все связанные с этим эффекты только усилятся). Тогда граничные условия на ГП сводятся к непрерывности температуры и теплового потока с учетом мощности, выделяемой при инжекции через поверхности разрыва зон и контактные области пространственного заряда. Считая, что длины оставления неравновесных носителей больше размеров этих областей, получим

$$T|_{x=-\frac{d_a}{2}-0} = T|_{x=-\frac{d_a}{2}+0} = T_n, \quad Q|_{x=-\frac{d_a}{2}-0} - Q|_{x=-\frac{d_a}{2}+0} = \frac{J_n}{e} (\Delta \epsilon_c - eV_n), \quad (2)$$

$$T|_{x=\frac{d_a}{2}-0} = T|_{x=\frac{d_a}{2}+0} = T_p, \quad Q|_{x=\frac{d_a}{2}-0} - Q|_{x=\frac{d_a}{2}+0} = \frac{J_p}{e} (\Delta \epsilon_v - eV_p).$$

Здесь  $\Delta\varepsilon_c$ ,  $\Delta\varepsilon_v$  — величины разрывов  $c$ - и  $v$ -зон;  $eV_n \simeq T_n \ln(eN_n v_n/J)$  и  $eV_p \simeq T_p \ln(eN_p v_p/J)$  — изгибы зон в КО  $N$ - и  $P$ -типа (рис. 1), зависящие от концентраций ионизированных примесей  $N_n$  и  $N_p$ , а также от тепловых скоростей электронов  $v_n = (T_n/2\pi m_n)^{1/2}$  и дырок  $v_p = (T_p/2\pi m_p)^{1/2}$ . Учитывая, что толщины КО, как правило, значительно превышают характерные длины остывания, используем также в качестве граничных условий равенство нулю теплового потока в глубине каждой из этих областей.

Уравнение (1) должно быть дополнено выражениями для плотностей тока и уравнениями непрерывности, определяющими концентрации носителей во всех трех расчетных областях. Используя допущения о малости токов утечки в сравнении с токами накачки, можно показать, что для КО  $J_n|_{x \leq -d_a/2} \simeq J_p|_{x \geq d_a/2} \simeq -J$ ,  $p_n \ll N_n$ ,  $n_p \ll N_p$ , где  $p_n$  и  $n_p$  — концентрации неосновных носителей, дырок и электронов соответственно в КО  $N$ - и  $P$ -типа. Для АО с толщиной  $d_a \leq 0.3$  мкм можно использовать приближение квазинейтральности и постоянства концентраций носителей по координате [14], в условиях которых

$$J \simeq e d_a (R_R + R_A), \quad (3)$$

где  $R_R = B n_a p_a$ ,  $R_A = C_{\text{CHCC}} n_a^2 p_a + C_{\text{CHSH}} n_a p_a^2$ ;  $B$  — коэффициент излучательной рекомбинации;  $C_{\text{CHCC}}$ ,  $C_{\text{CHSH}}$  — коэффициенты оже-рекомбинации CHCC- и CHSH-процессов, доминирующих в InGaAsP [4];  $n_a$ ,  $p_a$  — концентрации электронов и дырок в АО, причем  $p_a = n_a + N_a$ . С учетом уже сделанных допущений также естественным будет для КО пренебрежение третьим и четвертым слагаемыми в правой части (1), связанными с рекомбинацией, а для АО — пренебрежение первым слагаемым в правой части (1), связанным с джоулевым разогревом.

Для решения уравнения теплопроводности необходимо еще конкретизировать температурные зависимости кинетических коэффициентов. Использование зависимостей, основанных на последовательном учете всех механизмов рассеяния, многодолинности и т. д., возможно только при численном решении (1). Однако при комнатной температуре и не слишком сильном перегреве доминирует один канал рассеяния — взаимодействие с полярными оптическими фононами [14], для которого в области температур, больших энергии оптического фона, имеют место аппроксимационные зависимости вида

$$\frac{e}{T} D_{n,p} = \mu_{n,p} = \mu_{n,p}(T_0) \left( \frac{T}{T_0} \right)^{-1/2}, \\ P_n = \frac{3}{2} n \frac{T - T_0}{\tau_n(T_0)} \left( \frac{T}{T_0} \right)^{-3/2}, \quad P_p = \frac{3}{2} p \frac{T - T_0}{\tau_p(T_0)} \left( \frac{T}{T_0} \right)^{-3/2}. \quad (4)$$

Учитывая модельный характер рассматриваемой задачи в целом, а также то, что при перегревах  $\Delta T/T_0$ , составляющих не более чем десятки процентов, величина и распределение эффективной температуры не слишком чувствительны к конкретному виду достаточно плавных функций  $\mu_{n,p}(T)$  и  $P_{n,p}(T)$ , будем использовать (4) по всей ДГС.

Тогда в (1) для каждой из расчетных областей удобно перейти к новой безразмерной переменной [15]

$$\xi = L_j^{-1} \int dx [T(x)/T_0]^{-3/2},$$

где  $j=n, p$ ,  $a$  — индексы, соответствующие областям, а

$$L_{n,p} = [2D_{n,p}(T_0)\tau_{n,p}(T_0)]^{1/2}, \\ L_a = \left\{ \frac{2[D_n(T_0)n_a + D_p(T_0)p_a]\tau_n(T_0)\tau_p(T_0)}{n_a\tau_p(T_0) + p_a\tau_n(T_0)} \right\}^{1/2}$$

— длины остывания в этих областях. С ее использованием уравнение теплопроводности становится линейным как в КО, в которых существен конвективный перенос тепла, так и в АО, в которой конвективный ток мал и перенос тепла

определяется теплопроводностью. Для сшивки решений  $T(\xi)$  линейных уравнений теплопроводности и обратного перехода от  $\xi$  к размерной координате  $x$  необходимо еще решить уравнение [15]

$$d_a = L_a \int_{-\xi_a/2}^{\xi_a/2} d\xi [T(\xi)/T_0]^{3/2}, \quad (5)$$

связывающее размерную ( $d_a$ ) и безразмерную ( $\xi_a$ ) толщины АО. В результате получим в режиме заданного тока накачки распределение эффективной температуры  $T(x)$  по всей ДГС и электрического поля  $E_{n,p}(x)$  соответственно по  $N$ - и  $P$ -КО:

$$E_{n,p}(x) = \frac{J}{e\mu_{n,p}N_{n,p}} \mp \frac{3}{2e} \frac{dT}{dx}. \quad (6)$$

Плотности токов неосновных носителей в  $N$ - и  $P$ -КО соответственно  $J_{l_p}$  и  $J_{l_n}$  равны:

$$J_{l_p} = e\mu_p E_n - e \frac{d}{dx} (D_p p), \quad (7)$$

$$J_{l_n} = e\mu_n E_p + e \frac{d}{dx} (D_n n). \quad (8)$$

Плотности тока утечки ДГС  $J_l$  определяются как их сумма на ГП, ограничивающих АО,

$$J_l = J_{l_p} \left( -\frac{d_a}{2} \right) + J_{l_n} \left( \frac{d_a}{2} \right),$$

а коэффициент инжекции  $\gamma$  — как отношение тока утечки к току накачки  $\gamma = -J_l/J$ .

В реальных условиях электронный ток утечки много больше дырочного [3], что связано как с различием подвижностей электронов и дырок ( $\mu_n/\mu_p \approx 20$ ), так и с большей высотой гетеробарьера для дырок ( $\Delta\varepsilon_d \approx 1.5\Delta\varepsilon_e$  [16]). Учитывая, что длина диффузии электронов в  $P$ -КО составляет  $\geq 4$  мкм [17] (что, как правило, больше толщины этой области), объемной рекомбинацией электронов можно пренебречь. Тогда  $J_{l_n} \approx \text{const}$  и уравнение (1) с использованием найденных уже  $T(x)$  и  $E(x)$  может быть легко решено относительно концентрации электронов  $n$ . В случае омического контакта рекомбинационного типа ( $n|_{x=d_a/2+d_p} = 0$ ) ток утечки  $J_{l_n}$  и коэффициент инжекции  $\gamma$  оказываются пропорциональными концентрации неосновных носителей  $n_p^*$  на границе КО и АО. Эту величину можно связать с квазиуровнем Ферми для электронов  $\Phi_n$  и эффективной температурой  $T_p$  на ГП соотношением

$$n_p^* = N_c(T_p) F_{1/2} \left( \frac{\Phi_n - \Delta\varepsilon_e - eV_p}{T_p} \right), \quad (9)$$

в котором  $N_c$  — плотность состояний в  $c$ -зоне. Так как ток утечки предполагается малым, то квазиуровень Ферми  $\Phi_n$  можно считать одинаковым по обе стороны ГП и найти из уравнения

$$n_a = N_c(T_p) F_{1/2} (\Phi_n/T_p), \quad (10)$$

где  $n_a$  — определяемая уравнением (3) концентрация электронов в АО. При записи выражений (9) и (10) принималось во внимание возможное вырождение электронов, влияющее на распределение концентрации вблизи ГП. В то же время влияние вырождения электронов на распределение температуры вблизи этого ГП не учитывалось, так как теплопроводность в значительной степени определяется невырожденными дырками.

В результате соотношения (7)–(10) исчерпывающим образом определяют ток утечки и коэффициент инжекции в режиме заданного тока накачки. Хотя в рамках рассматриваемой модели разогрева решение уравнения теплопровод-

ности для каждой из расчетных областей может быть получено в аналитической форме, часть промежуточных расчетов [решение уравнений (3), (5), (10) и т. п.] все равно приходится делать численно, поэтому приведем только численные

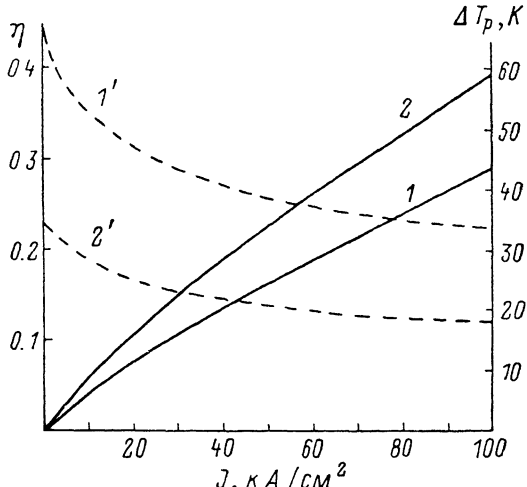


Рис. 2. Зависимости величины перегрева на изотопном ГП  $\Delta T_p = T_p - T_0$  (сплошные линии) и внутреннего квантового выхода  $\eta$  (штриховые) от плотности тока накачки  $J$ .  
 $\lambda$ , мкм: 1, 1' — 1.3; 2, 2' — 1.55;  $d_a=0.2$  мкм,  $d_n=d_p=2$  мкм,  $N_n=10^{17}$  см<sup>-3</sup>,  $N_p=N_a=5 \cdot 10^{18}$  см<sup>-3</sup>.

результаты. На рис. 2 представлены зависимости квантового выхода  $\eta=R_R/(R_R+R_A)$  и величины перегрева на изотипном ГП  $\Delta T_p$  от плотности тока накачки  $J$ . Использованные в расчете параметры материала соответствуют работам [16–18]. Видно, что  $\eta$  быстро падает с ростом  $J$  и при  $J > 10^4$  А/см<sup>2</sup>,

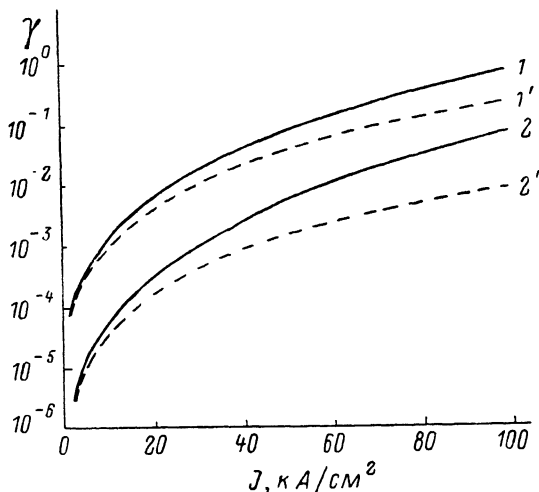


Рис. 3. Зависимости коэффициента инжекции  $\gamma$  от плотности тока накачки  $J$  с учетом разогрева (сплошные линии) и без учета разогрева (штриховые).

$\lambda$ , мкм: 1, 1' — 1.3; 2, 2' — 1.55;  $d_a=0.2$  мкм,  $d_n=d_p=2$  мкм,  $N_n=10^{17}$  см<sup>-3</sup>,  $N_p=N_a=5 \cdot 10^{18}$  см<sup>-3</sup>.

когда доминирует оже-рекомбинация,  $\eta \sim J^{-1/3}$ , чем, в частности, и объясняется насыщение ваттамперной характеристики светодиодов [4, 18]. Величина  $\Delta T_p$  почти линейно зависит от  $J$ , что указывает на инжекцию с гетеробарьеров как на основную причину разогрева в АО. При этом для ДГС с  $\lambda=1.55$  мкм перегрев ЭДП в ~1.5 раза больше, чем для ДГС с  $\lambda=1.3$  мкм, что также подтверждает этот вывод. Разогрев ЭДП при  $J > 10^4$  А/см<sup>2</sup> приводит к аномальному увеличению токов утечки, и это, на наш взгляд, может быть не менее важной

причиной наблюдаемого насыщения ваттамперной характеристики ДГС InGaAsP/InP с  $\lambda=1.55$  мкм, чем оже-рекомбинация. На рис. 3 показана зависимость коэффициента инжекции от плотности тока с учетом и без учета разогрева. Из рисунка видно, что, например, для  $J=80$  кА/см<sup>2</sup> имеем  $J_l(\Delta T \neq 0)/J_l(\Delta T = 0) \approx 6$  в ДГС с  $\lambda=1.55$  мкм, что удовлетворительно согласуется с экспериментальными данными [10]. Заметим, что в области почти линейной зависимости  $\Delta T_p$  величина  $\gamma(J)$  близка к экспоненциальнй, т. е. основной причиной роста тока утечки для  $J > 10^4$  А/см<sup>2</sup> является увеличение надбарьерной термоэмиссии электронов из АО по мере их разогрева. При этом может быть дана оценка:

$$\frac{J_l(\Delta T \neq 0)}{J_l(\Delta T = 0)} \sim \exp\left(\frac{J}{J_0} \frac{\Delta \epsilon_c \Delta \epsilon_G}{T_0^2}\right),$$

где  $J_0 = \sqrt{3} e [D_n(T_0) n_a + D_p(T_0) p_a]/L_a$  — характерная плотность тока накачки.

В заключение авторы благодарят В. И. Рыжия за поддержку и обсуждение результатов работы.

#### Л и т е р а т у р а

- [1] Yamakoshi S., Sanada T., Wada O., Umabu I. — Appl. Phys. Lett., 1982, v. 40, N 2, p. 144—146.
- [2] Chen T. R., Margalit S., Koren V., Yu K. L., Chiu L. C., Hasson A., Yariv A. — Appl. Phys. Lett., 1983, v. 41, N 12, p. 1000—1002.
- [3] Chen T. R., Chang B., Chiu L. C., Yu K. L., Margalit S., Yariv A. — Appl. Phys. Lett., 1983, v. 43, N 3, p. 217—218.
- [4] Гарбузов Д. З., Агаев В. В., Соколова З. Н., Халфин В. Б., Чалый В. П. — ФТП, 1984, т. 18, в 6, с. 1069—1076.
- [5] Чалый В. П., Гарбузов Д. З., Агаев В. В., Чудинов А. В. — ФТП, 1983, т. 17, в. 3, с. 464—468.
- [6] Гарбузов Д. З., Чалый В. П., Агаев В. В., Трукан М. К. — ФТП, 1983, т. 17, в. 3, с. 538—540.
- [7] Лубашевский И. А., Рыжий В. И. — ФТП, 1983, т. 17, в. 11, с. 2031—2034.
- [8] Лубашевский И. А., Рыжий В. И., Мизерина Н. Ю. — ФТП, 1983, т. 17, в. 9, с. 1631—1635.
- [9] Shah J., Leheny R. F., Nahory R. E., Temkin H. — Appl. Phys. Lett., 1981, v. 39, N 8, p. 618—620.
- [10] Wada O., Yamakoshi S., Sakurai T. — Appl. Phys. Lett., 1982, v. 41, N 10, p. 981—983.
- [11] Manning J., Olshansky R., Su C. B., Powazinik W. — Appl. Phys. Lett., 1983, v. 43, N 2, p. 134—135.
- [12] Brosson P., Thompson G. H. B. — Electron. Lett., 1981, v. 17, N 25, p. 957—958.
- [13] Константинов О. В., Мезрин О. А. — ФТП, 1985, т. 19, в. 11, с. 1991—1999.
- [14] Кейси Х., Паниш М. Лазеры на гетероструктурах. М., 1981. 366 с.
- [15] Толстыхин В. И. — ФТП, 1986, т. 20, в. 12, с. 2199—2205.
- [16] Forrest S. R., Schmidt P. H., Wilson R. B., Kaplan M. L. — App. Phys. Lett., 1984, v. 45, N 11, p. 1199—1201.
- [17] Yano M., Imai H., Takusagawa M. — IEEE J. Quant. Electron., 1981, v. QE-17, N 9, p. 1954—1963.
- [18] Dutta N. K., Wilson R. B., Wilt D. P., Besomi P., Brown R. L., Nelson R. J., Dixon R. W. — ATT Techn. J., 1985, v. 64, N 8, p. 1857—1884.

Получена 12.05.1987г.  
Принята к печати 25.03.1988г.